

ЛИТЕРАТУРА

1. Красиков О.А., Цыщенко Н.А., Головкина А.Б., Мачина Н.А. Проблемы ремонта мостов на дорогах Казахстана. Габариты и нагрузки //Вестник КазГАСА №2(8). Алматы, 2003.
2. Иосилевский Л.И. Практические методы управления надёжностью железобетонных мостов. – 3-е изд., перераб. и доп. М.: Науч. –изд. центр «Инженер», 2001. – 324с.
3. Чирков В.П. Методы расчёта сроков службы железобетонных конструкций. Уч. пос. – М.: МИИТ, 1996. – 60с.
4. Чирков В.П. Прикладные методы теории надёжности в расчётах строительных конструкций. Учебное пособие для вузов ж. –д. транспорта. – М.: Маршрут, 2006. -620с.
5. Шестериков В.И. Методика расчётного прогнозирования срока службы железобетонных пролетных строений автодорожных мостов. Москва 2002.
6. Залесов А.С., Чистяковым Е.А., Ларичева И.Ю. Деформационная расчётная модель железобетонных элементов при действии изгибающих моментов и продольных сил. Бетон и железобетон, №5, 1996г.



ПОДВИЖНОЙ СОСТАВ

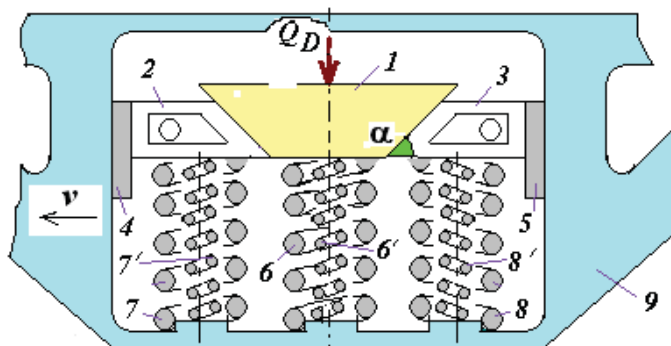
УДК 629.46.027.3

**Абдуллаев Сейдулла Сейдеметович – д.т.н., доцент (Алматы, КазАТК)
Жандыбаев Болат Рымканович – инженер КарГТУ (Караганда, КарГТУ)**

**АНАЛИТИЧЕСКОЕ ИССЛЕДОВАНИЕ ПРУЖИНО-ФРИКЦИОННОГО
КОМПЛЕКТА ТЕЛЕЖКИ ГРУЗОВОГО ВАГОНА**

Рассматривая несимметричное размещение твердотельного груза относительно как продольной (в сторону передней тележки), так и поперечной (в сторону наружной рельсовой нити) оси симметрии вагона [1], следует получить аналитические формулы для определения реакции связей в парах трения «надрессорная балка – фрикционный клин» и «фрикционный клин – фрикционная планка» в зависимости от их геометрических параметров (углов наклонов контактируемых поверхностей).

Конструктивно пружинно-фрикционный комплект тележки грузового вагона, как физический объект, с точки зрения теоретической механики, и как клиновой механизм, с точки зрения теории механизмов и машин, выполнен так, что его фрикционные клинья контактируются только тремя твердотельными элементами – надрессорной балкой 1, фрикционной планкой 4 (или 5) и двойными пружинами 7 (или 8) [1] (рисунок 1).



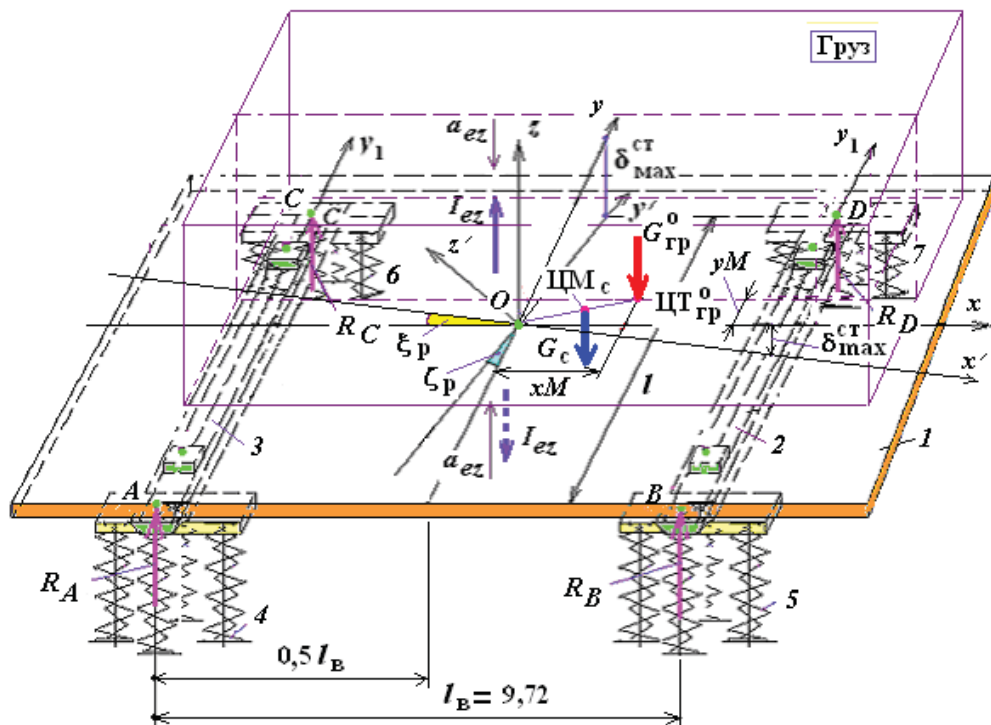
1 – хвостовая часть надрессорной балки; 2 и 3 – фрикционные клинья;
4 и 5 – фрикционная планка; 6 – комплекты пружин под надрессорной балкой;
7 и 8 – комплекты подклиновых пружин; 9 – боковая рама

Рисунок 1 – Пружинно-фрикционный комплект тележки, нагруженной силой давления кузова вагона с грузом

В работе [2] подробно описаны аналитические исследования, посвященные работе пружинно-фрикционного комплекта тележки грузового вагона, где приведены замечания к расчетным моделям и разработанной методике расчета реакции его связей, учитывающих возможный кромочный контакт трущихся тел отдельными гранями.

Для решения поставленной прикладной задачи воспользуемся важнейшими положениями теоретической механики – принципом освобождаемости от связей, условием равновесия сил статики, законом Кулона, аксиомой равенства действия и противодействия.

Рассмотрим несимметричное размещение штучных грузов относительно продольной и поперечной осей симметрии вагона, например, в сторону опор B и D , на величины $+xM$ и $+yM$ (рисунок 2).



1 – рама вагона, 2 и 3 – надрессорные балки, 4 – 7 – комплекты пружин

Рисунок 2 – Размещение груза со смещением общего центра масс

Расположение общего центра масс груза $\bar{CM}_{\text{гр}}^o$ относительно поперечной xM и продольной yM оси симметрии вагона принимают в зависимости от веса груза и высоты общего центра масс вагона с грузом над УГР по табл. 9 и 10 Приложения 14 к СМГС [3].

При этом рама вагона и надрессорные балки передней и задней тележки из-за смещения центра масс $\bar{CM}_{\text{гр}}^o$ механической системы «груз – рама вагона» будут наклонены в сторону этой опоры на углы ξ_p и ζ_p , перегружая комплекты пружин опоры A и B (или C и D) и разгружая такие же пружины опоры B и D (или A и C). В таком наклонном положении рамы вагона с грузом и надрессорных балок будет находиться вагон с грузом в составе поезда (рисунок 2).

Далее сила давления надрессорной балки в виде \bar{Q}_D (или \bar{Q}_C) будут действовать на комплекты пружин тележек грузового вагона. При этом каждый комплект пружин состоит из сдвоенного ряда пружин, один из которых с меньшим средним диаметром D_{ia} размещен внутрь другого с большим средним диаметром D_i , причем $D_{ia} < D_i$ ($i = 6, 7, 8$). Такую конструкцию комплектов пружин применяют тогда, когда наибольшее касательное напряжение пружины τ_{\max} с большим средним диаметром D_i порядка на 50 % превышает величину допускаемого напряжения $[\tau]$ [3]. Поэтому для разгрузки наружной пружины введена дополнительно вторая пружина с меньшим средним диаметром D_{ia} .

Рассмотрим случаи, если рама вагона с грузом полностью контактируется с поверхностями упруго-катковых скользунов с полимерным демпфером, чему соответствует приложение внешней нагрузки \bar{Q}_D (или \bar{Q}_C) в точке D_0 , т.е. симметричному приложению внешней нагрузки относительно продольной оси симметрии надрессорной балки (рисунок 1 и 2)..

Будем иметь в виду, что силы упругости комплектов подклиновых пружин также оказывают давление на надрессорную балку и фрикционные клинья, через которые и на боковые рамы тележек вагона. Причем реакции (силы упругости) F_6 комплектов пружин под надрессорными планками (5 шт.) 6 будет оказывать сопротивление перемещению вниз надрессорной балки 1, а реакции (силы упругости) F_7 и F_8 комплектов подклиновых пружин 7 и 8 окажут сопротивление перемещению вниз фрикционным клиньям 2 и 3 (рисунок 1).

Силы упругости комплектов пружин F_6 , F_7 и F_8 определяются умножением коэффициента жесткости c_i на их вертикальное перемещение (осадка) $\Delta z_i = \delta_i$, которые определяются по силовым характеристикам пружин в виде:

$$F_i = |c_i \delta_i|. \quad (1)$$

Для тележек грузовых вагонов модели 18–100 статически прогиб $\delta_{\text{ст}}$ под весом брутто равен 46 – 50 мм . Прогиб пружин должен быть меньше статического, т.е. $\delta_i < \delta_{\text{ст}}$.

Фрикционные планки 4 и 5 (рисунок 1) должны обязательно иметь непараллельность в вертикальной плоскости (углы наклонов относительно горизонтали $\beta_1 = 89^\circ - 1^\circ$ и $\beta_2 = 89^\circ + 1^\circ$), при этом расстояние между фрикционными планками внизу должно быть на 4 – 10 мм больше, чем вверху. Непараллельность фрикционных планок по горизонтали – не более 3 мм (углы наклонов поверхностей контактов фрикционных клиньев 2 и 3 с фрикционными планками 4 и 5 относительно поперечной оси проема боковой рамы вагона соответственно равны $\gamma_1 = 88^\circ - 1^\circ$ и $\gamma_2 = 92^\circ + 1^\circ$).

Согласно принципу освобождаемости от связей, расчетные модели надрессорной балки 1 и фрикционных клиньев 2 и 3 грузовой тележки 18-100 представим так, как показаны на рисунке 3.

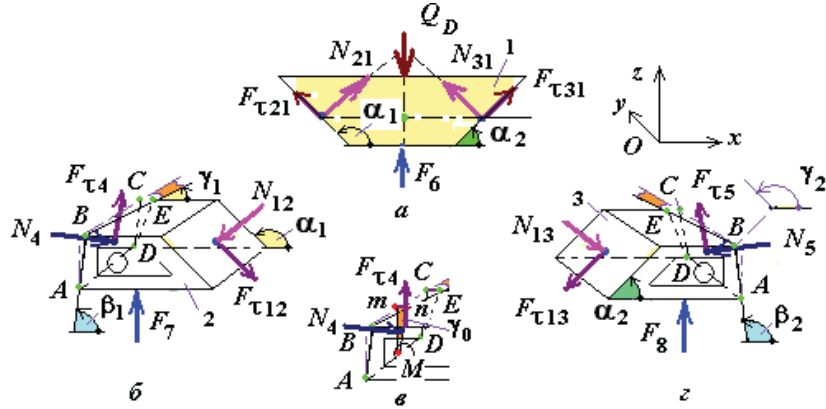


Рисунок 3 – Расчетные модели надрессорной балки 1 и фрикционных клиньев 2 и 3

Рассматривая равновесие надрессорной балки 1 (рисунок 3, а) убеждаемся, что на надрессорную балку 1 действуют: реакции \bar{R}_{21} и \bar{R}_{31} фрикционных клиньев 2 и 3, которые раскладываются на нормальные и касательные составляющие – N_{21} , N_{31} и $F_{\tau21}$, $F_{\tau31}$; активная сила \bar{Q}_D (или \bar{Q}_C), равная половине реакции шарнирно-подвижной опоры, и реактивные силы в виде равнодействующих реакций комплектов пружин 6 \bar{F}_6 . При этом считаем, что наклонные поверхности надрессорной балки выполнены с погрешностями, т.е. $\alpha_1 \neq \alpha_2$, где α_1 и α_2 – углы наклона поверхностей надрессорной балки к горизонту, рад. ($\alpha_1 \approx 134^{\circ}30' + 1'$, $\alpha_2 \approx 45^{\circ}30' + 1'$).

При аналитическом исследовании предположим, что углы наклонов поверхностей (α_1 и α_2) надрессорной балки 1, фрикционных клиньев 2, 3 и фрикционных планок 4, 5 (β_1 , β_2 и γ_1 , γ_2) имеют различные значения ($\alpha_1 \neq \alpha_2$, $\beta_1 \neq \beta_2$ и $\gamma_1 \neq \gamma_2$), что соответствуют либо их изготовлению с погрешностями, либо учитывают неравномерный износ их поверхностей. Также примем, что коэффициенты трения скольжения f между контактируемыми поверхностями надрессорной балки (f_1 и f_2), фрикционных клиньев и планок (f_3 и f_4) имеют различные значения.

Составим уравнения равновесия надрессорной балки 1, относительно оси x и z :

$$\sum_{k=1}^n F_{kx} = 0 : N_{21} \cos(\alpha_1 - \frac{\pi}{2}) + F_{\tau21} \cos(\alpha_1) + N_{31} \cos(\alpha_2 + \frac{\pi}{2}) + F_{\tau31} \cos(\alpha_2) = 0 ; \quad (2)$$

$$\sum_{k=1}^n F_{kz} = 0 : N_{21} \sin(\alpha_1 - \frac{\pi}{2}) + F_{\tau21} \sin(\alpha_1) + N_{31} \sin(\alpha_2 + \frac{\pi}{2}) + F_{\tau31} \sin(\alpha_2) - Q_C + F_6 = 0 . \quad (3)$$

Здесь независимых уравнений равновесия два, а неизвестных четыре: N_{21} , N_{31} и $F_{\tau21}$, $F_{\tau31}$. Такую задачу можно условно отнести к разряду задач статически неопределенных. Для решения статической неопределенной задачи достаточно к уравнениям (2) и (3) добавить уравнение, вытекающее из закона Кулона

$$F_\tau \leq fN , \quad (4)$$

где f – коэффициент трения скольжения между контактирующими поверхностями надрессорной балки 1 и фрикционных клиньев 2, 3, а также между фрикционными клиньями 2, 3 и фрикционными планками 4, 5.

Подставляя равенства (4) в (2) и (3), и после преобразования получим систему уравнения двумя неизвестными, для их решения используя правило Крамера [4], находим нормальные составляющие реакции связей (фрикционных клиньев 2 и 3) при исполнении наклонных поверхностей надрессорной балки 1 с погрешностями:

$$N_{21} = \frac{-(Q_C - F_6)}{ad - bc} \left(\cos(\alpha_2 + \frac{\pi}{2}) + f_2 \cos(\alpha_2) \right); \quad (5)$$

$$N_{31} = \frac{(Q_C - F_6)}{ad - bc} \left(\cos(\alpha_1 - \frac{\pi}{2}) + f_1 \cos(\alpha_1) \right). \quad (6)$$

С учетом последнего выражения соотношения (5) и (6) примет вид:

$$N_{21} = \frac{-(Q_C - F_6)}{\sin(\alpha_1) \cos(\alpha_2) + \sin(\alpha_2) f_2 \sin(\alpha_1) + \\ + f_1 \cos(\alpha_1) \cos(\alpha_2) + f_1 \cos(\alpha_1) f_2 \sin(\alpha_2) + \\ + \sin(\alpha_2) \cos(\alpha_1) (-1) + \sin(\alpha_2) f_1 \sin(\alpha_1) + \\ + f_2 \cos(\alpha_1) \cos(\alpha_2) - f_2 \cos(\alpha_2) f_1 \sin(\alpha_1)} \cdot \left(\cos(\alpha_2 + \frac{\pi}{2}) + f_2 \cos(\alpha_2) \right); \quad (7)$$

$$N_{31} = \frac{(Q_C - F_6)}{\sin(\alpha_1) \cos(\alpha_2) + \sin(\alpha_2) f_2 \sin(\alpha_1) + \\ + f_1 \cos(\alpha_1) \cos(\alpha_2) + f_1 \cos(\alpha_1) f_2 \sin(\alpha_2) + \\ + \sin(\alpha_2) \cos(\alpha_1) (-1) + \sin(\alpha_2) f_1 \sin(\alpha_1) + \\ + f_2 \cos(\alpha_1) \cos(\alpha_2) - f_2 \cos(\alpha_2) f_1 \sin(\alpha_1)} \cdot \left(\cos(\alpha_1 - \frac{\pi}{2}) + f_1 \cos(\alpha_1) \right); \quad (8)$$

Рассмотрим равновесие фрикционного клина 2 (рисунок 3, δ).

На фрикционный клин 2 согласно аксиоме равенства действия и противодействия действуют: нормальная $N_{12} = -N_{21}$ и касательная $F_{\tau 12} = -F_{\tau 21}$ составляющие реакции надрессорной балки $\bar{R}_{12} = -\bar{R}_{21}$; нормальная N_4 и касательная $F_{\tau 4}$ составляющие реакции фрикционной планки 4 \bar{R}_4 ; а также равнодействующая реакций комплектов пружин 7 – \bar{F}_7 .

Составим уравнения равновесия для фрикционного клина 2:

$$\sum_{k=1}^n F_{kx} = 0 : \quad N_{12} \cos(\alpha_1 + \frac{\pi}{2}) + F_{\tau 12} \cos(\alpha_1 + \pi) + N_4 \cos(\gamma_0) \times \\ \times \cos(\beta_1 + \frac{3}{2}\pi) + F_{\tau 4} \cos(\gamma_0) \cos(\beta_1) = 0; \quad (9)$$

$$\sum_{k=1}^n F_{kz} = 0 : \quad N_{12} \sin(\alpha_1 + \frac{\pi}{2}) + F_{\tau 12} \sin(\alpha_1 + \pi) + N_4 \cos(\gamma_0) \times \\ \times \sin(\beta_1 + \frac{3}{2}\pi) + F_{\tau 4} \cos(\gamma_0) \sin(\beta_1) + F_7 = 0. \quad (10)$$

Из соотношения (9) с учетом формулы (4) найдем нормальную составляющую реакции фрикционного клина 4

$$N_4 = -N_{12} \frac{\left(\cos(\alpha_1 + \frac{\pi}{2}) + f_1 \cos(\alpha_1 + \pi) \right)}{\cos(\gamma_0) \left(\cos(\beta_1 + \frac{3}{2}\pi) + f_3 \cos(\beta_1) \right)}. \quad (11)$$

Из последнего выражения с учетом (7) и после небольших преобразований получим:

$$\begin{aligned} N_4 = & \frac{-(Q_C - F_6) \cdot (\sin(\alpha_2) - f_2 \cos(\alpha_2))}{\sin(\alpha_1) \cos(\alpha_2) + \sin(\alpha_2) f_2 \sin(\alpha_1) +} \cdot \frac{(\sin(\alpha_1)) + f_1 \cos(\alpha_1))}{\cos(\gamma_0) (\sin(\beta_1) + f_3 \cos(\beta_1))}. \quad (12) \\ & + f_1 \cos(\alpha_1) \cos(\alpha_2) + f_1 \cos(\alpha_1) f_2 \sin(\alpha_2) + \\ & + \sin(\alpha_2) \cos(\alpha_1) (-1) + \sin(\alpha_2) f_1 \sin(\alpha_1) + \\ & + f_2 \cos(\alpha_1) \cos(\alpha_2) - f_2 \cos(\alpha_2) f_1 \sin(\alpha_1) \end{aligned}$$

С другой стороны, из выражения (11) с учетом формулы (4) также найдем:

$$N_4 = \frac{N_{12} (\cos(\alpha_1) - f_1 \sin(\alpha_1)) + F_7}{\cos(\gamma_0) (\cos(\beta_1) - f_3 \sin(\beta_1))}. \quad (13)$$

Последнее выражение может быть использовано для контроля составленных аналитических соотношений.

Рассмотрим условия равновесия фрикционного клина 3 (рисунок 3, ε).

На фрикционный клин 3 согласно аксиоме равенства действия и противодействия действуют: нормальная $N_{13} = -N_3$ и касательная $F_{\tau 13} = -F_{\tau 3}$ составляющие реакции надрессорной балки $\bar{R}_{13} = -\bar{R}_3$; нормальная N_5 и касательная $F_{\tau 5}$ составляющие реакции фрикционной планки 5 \bar{R}_5 ; а также равнодействующая реакций комплектов пружин 8 – \bar{F}_8 . Учтем, что на рисунке 3,ε: $\gamma_2 \geq \frac{\pi}{2}$ – угол наклона задней поверхности $ABED$ фрикционного клина 3, контактируемой с фрикционной планкой 5, рад. ($\gamma_2 = 92^\circ + 1^\circ$).

Составим уравнения равновесия для фрикционного клина 3 аналогично с фрикционным клином 2:

$$\begin{aligned} \sum_{k=1}^n F_{kx} = 0 : & N_{13} \cos(\alpha_2 + \frac{3}{2}\pi) + F_{\tau 13} \cos(\alpha_2 + \pi) + N_5 \cos(\gamma_0) \times \\ & \times \cos(\beta_2 + \frac{\pi}{2}) + F_{\tau 5} \cos(\gamma_0) \cos(\beta_2) = 0; \end{aligned} \quad (14)$$

$$\begin{aligned} \sum_{k=1}^n F_{kz} = 0 : & N_{13} \sin(\alpha_2 + \frac{3}{2}\pi) + F_{\tau 13} \sin(\alpha_2 + \pi) + N_5 \cos(\gamma_0) \times \\ & \times \sin(\beta_2 + \frac{\pi}{2}) + F_{\tau 5} \cos(\gamma_0) \sin(\beta_2) + F_8 = 0. \end{aligned} \quad (15)$$

Из соотношения (14) с учетом формул (4) и (7) и после преобразований найдем нормальную составляющую реакции фрикционного клина 4

$$N_5 = \frac{(Q_C - F_6) \cdot (\sin(\alpha_1) + f_1 \cos(\alpha_1))}{\sin(\alpha_1) \cos(\alpha_2) + \sin(\alpha_2) f_2 \sin(\alpha_1) +} \times \\ + f_1 \cos(\alpha_1) \cos(\alpha_2) + f_1 \cos(\alpha_1) f_2 \sin(\alpha_2) + \\ + \sin(\alpha_2) \cos(\alpha_1) (-1) + \sin(\alpha_2) f_1 \sin(\alpha_1) + \\ + f_2 \cos(\alpha_1) \cos(\alpha_2) - f_2 \cos(\alpha_2) f_1 \sin(\alpha_1) \\ \times \frac{(\sin(\alpha_2) - f_2 \cos(\alpha_2))}{\cos(\gamma_0) (\sin(\beta_2) - f_4 \cos(\beta_2))}. \quad (16)$$

С другой стороны, из выражения (15) с учетом формул (4) после небольших преобразований найдем

$$N_5 = \frac{N_{13} (\cos(\alpha_2) + f_2 \sin(\alpha_2)) + F_8}{\cos(\gamma_0) (\cos(\beta_2) + f_4 \sin(\beta_2))}. \quad (17)$$

Выражение (17) может быть использовано для проверки составленных аналитических выражений.

Выводы:

На основе выполненных аналитических исследований пружинно-поглощающих аппаратов тележки модели 18-100 грузового вагона можно отметить следующее: разработана расчетная и построена математическая модель силового воздействия пар трения «надрессорная балка – фрикционный клин» и «фрикционный клин – фрикционная планка» пружинно-поглощающих аппаратов; получены аналитические формулы для определения реакции связей в зависимости от геометрических параметров (углов наклонов контактируемых поверхностей) пар трения, которые позволяют найти их рациональные значения.

ЛИТЕРАТУРА

1. Туранов Х.Т., Тимухина Е.Н., Даусеитов Е.Б., Кравченко О.А. Аналитическое обоснование технологии несимметричного размещения общего центра масс грузов в вагонах / Транспорт: Наука, техника и управление, 2009, № 7, с. 11-15.
2. Даусеитов Е.Б., Абдуллаев С. С., Куттыбаев У.С., Б.Р. Жандыбаев. // М-лы междунар. науч.-техн. конф. «Совершенствование конструкций и системы эксплуатации транспортной техники». – Алматы: КазАТК, 2009, С.
3. Приложение 14 к СМГС «Правила размещения и крепления грузов в вагонах и контейнерах». – М.: Планета, 2005. – 191 с.
4. Бронштейн И.Н., Семенджиев К.А. Справочник по математике для инженеров и учащихся вузов. – М.: Наука, 1964. – 608 с.
5. Глушко М.И. и Антропов А.Н. Работа пружинно-фрикционного комплекта тележки грузового вагона // Вестник ВНИИЖТ, 2004. – №5. – С.41-44.